

НАТУРНЫЕ ИССЛЕДОВАНИЯ НЕУСТАНОВИВШЕЙСЯ ФИЛЬТРАЦИИ К СКВАЖИНАМ

Анализ развития радиуса влияния скважин показывает, что неустановившаяся фильтрация в водоносных горизонтах носит весьма сложный характер и даже в условиях однородных по проницаемости пластов часто не согласуется с известными представлениями теории линейной фильтрации. Особенно неясными остаются характер распространения и восстановления неустановившейся депрессионной воронки, ее форма и размеры при различных дебитах скважины. Можно полагать, что такое явление имеет место из-за нестабильности режима водного питания пластов (или граничных условий в общем случае), а также из-за воздействия на неустановившееся движение воды силы тяжести и начального градиента напора (или начального градиента фильтрации) I_0 . Влияние этих факторов на поведение неустановившейся (и особенно свободной) депрессионной поверхности только начинает изучаться.

Существование начального градиента напора I_0 и вытекающего из него обобщенного закона Дарси приводит к тому, что скорости перераспределения пластового давления и роста неустановившегося радиуса влияния носят затухающий характер. По этой причине радиус влияния скважин всегда имеет конечную величину (практически весьма небольшую) и является функцией дебита скважины [1, 2]. Аналогично параметры пласта, определяемые по формулам теории линейной фильтрации (например, по формулам Дюпюи и Тейса), при наличии I_0 также являются функциями интенсивности возмущения [2, 3]. В связи с этим и возникает вопрос о том, в каких средах движение воды подчиняется закону Дарси и теории линейной фильтрации, а в каких возникает I_0 , и движение подземных вод характеризуется теорией нелинейной или квазилинейной фильтрации.

Для изучения этого вопроса были проведены лабораторные опыты на фильтрационной трубке длиной 1 м и сечением 100 см² [3]. Пьезометрическая поверхность замерялась по многочисленным пьезометрам, расположенным вдоль трубки. За градиент напорного установившегося потока принимался уклон прямолинейного участка пьезометрической поверхности, находящегося в центральной части трубки (вблизи торцов трубки пьезометрическая поверхность резко изгибается, поэтому показания торцевых пьезометров в расчет не принимались). Пористой средой служили фракции песка диаметром 0,5—1,0 мм ($k_d = 80$ м/сутки) и 2—3 мм ($k_d = 393$ м/сутки).

Установлено, что движение воды в средне- и крупнозернистых песках происходит также при наличии I_0 . Причем в одной и той же пористой среде величина I_0 может быть различной в зависимости от интенсивности и характера потока. Отсюда следует, что практически во всех водоносных горизонтах движение подземных вод будет происходить с возникновением начального градиента фильтрации [3].

Для проверки этого вывода в натуральных условиях обобщим результаты определения коэффициента пьезопроводности (уровнепроводности) a и водоотдачи (упругоёмкости или запаса) пласта μ , полученные при проведении опытных откачек в однородных по проницаемости средах. Такой анализ позволит оценить достоверность различных гипотез о физической сущности параметров a и μ и создаст предпосылки для построения более совершенных моделей неустановившейся напорной и безнапорной фильтрации.

Для расчета a и μ воспользуемся формулой Ч. В. Тейса [4]

$$S_{rt} = \frac{Q}{4\pi T} \ln \frac{2,25 at}{r^2} = i \ln \frac{2,25 at}{r^2} = i^* \lg \frac{2,25 at}{r^2}, \quad (1)$$

где $Q = \text{const}$ — дебит скважины; S_{rt} — понижение уровня в точке r на момент времени t при данном Q ; $T = km = Q/4\pi i$ — проводимость пласта по Тейсу, определяемая с учетом времени t ; $i = Q/4\pi T$ — тангенс угла наклона графика прослеживания уровня $S_{rt} = f(\ln t)$ к оси $\ln t$ в наблюдательной скважине r ; $i^* = 2,3 i = 0,183 Q/T$ — то же для графика $S_{rt} = f(\lg t)$; a — коэффициент пьезопроводности пласта по Тейсу, определяемый по фиксированным значениям Q , S_{rt} , i из формулы (1)

$$\ln a = \frac{S_{rt}}{i} - \ln \frac{2,25 t}{r^2}. \quad (2)$$

Для расчета коэффициента упругоёмкости пласта μ имеется множество формул, вытекающих из соответствующих гипотез Буссинеска, В. Херста — М. Маскета, С. Е. Джейкоба — Ч. В. Тейса, В. Н. Щелкачева, Г. И. Баренблатта — А. П. Крылова, В. Н. Николаевского, В. М. Шестакова, Р. Де Уиста, Н. Н. Веригина и других исследователей [4—7]. Однако все они независимо от физического толкования параметра μ (а следовательно, и a) в конечном итоге приходят к линейному уравнению параболического типа [4, 5, 6]

$$\frac{\partial^2 S}{\partial r^2} + \frac{1}{r} \frac{\partial S}{\partial r} = \frac{1}{a} \frac{\partial S}{\partial t}, \quad (3)$$

где

$$a = T/\mu = \text{const} \neq f(Q). \quad (4)$$

На этом основании значение a из (2) можем подставить в формулу (4). Тогда получим выражение для определения коэффициента упругоёмкости пласта μ по фиксированным значениям Q , S_{rt} , i

$$\ln \mu = \ln \frac{T}{a} = \ln \frac{Q}{4\pi ia} = \ln \frac{2,25 Tt}{r^2} - \frac{S_{rt}}{i}. \quad (5)$$

Формула (1) справедлива для квазистационарного периода неустановившейся фильтрации, когда графики $S_{rt} = f(\ln t)$ (в различных точках пласта r) и $S_{rt} = f(\ln r)$ (на различные моменты времени t) прямолинейны и подчиняются уравнениям:

$$S_{rt} = A_r + i \ln t = A_r + i^* \lg t \quad (r = \text{const}), \quad (6)$$

$$S_{rt} = A_t - i_D \ln r = A_t - i_D^* \lg r \quad (t = \text{const}), \quad (7)$$

где A_r — величина S_{rt} на момент времени $t=1$ в точке r ; A_t — величина S_{rt} в точке $r=1$ на момент времени t ; $i_D = Q/2\pi T_D$ — тан-

генс угла наклона графика $S_{rt} = f(\ln r)$ к оси $\ln r$ на момент времени t ; $i_D^* = 2,3$ $i_D = 0,366$ Q/T_D ; $T_D = Q/2\pi i_D = 0,366$ Q/i_D^* — проводимость пласта по Дююи, определяемая без учета фактора времени из формулы Дююи (7).

Функции (6) и (7) представляют собой фундаментальные решения уравнения Лапласа в пространстве понижение — время

$$\frac{\partial^2 S}{\partial t^2} + \frac{1}{t} \frac{\partial S}{\partial t} = 0 \quad (8)$$

и в пространстве понижение — расстояние

$$\frac{\partial^2 S}{\partial r^2} + \frac{1}{r} \frac{\partial S}{\partial r} = 0. \quad (9)$$

Уравнения Лапласа (8) и (9) показывают, что в задаче Ч. В. Тейса квазистационарное поле в пространстве времени также является потенциальным и, следовательно, может быть смоделировано на интеграторах, применяемых для моделирования стационарных потенциальных полей.

Из уравнений (6) и (7) следует, что если опытные значения S_{rt} в координатах $S_{rt} - \ln t$ и $S_{rt} - \ln r$ образуют семейства параллельных прямых с угловыми коэффициентами соответственно i и i_D , то испытуемый пласт является однородным по проводимости и характеризуется параметрами $T = \text{const}$ и $T_D = \text{const}$.

Приведем результаты опытных откачек, удовлетворяющие условиям (6) и (7). Во всех опытах расчет a и μ произведен по формулам (2) и (5).

В опытах Л. К. Венцеля [7] приведены фактические понижения уровня S_{rt}' . Отсчет S_{rt}' производился от абсолютной отметки статического уровня ∇_{cr} в данной точке r . Поскольку в данных опытах $\nabla_{cr} = f(r)$, для анализа использованы приведенные (или расчетные) понижения уровня S_{rt} . Перевод S_{rt}' в S_{rt} произведен по формуле [8]

$$S_{rt} = S_{rt}' + \nabla_r = S_{rt}' + \nabla_n - \nabla_{cr}, \quad (10)$$

где ∇_n — абсолютная отметка приведенного статического уровня, от которого отсчитываются понижения S_{rt} ; $\nabla_r = \nabla_n - \nabla_{cr}$ — поправка на приведение фактического понижения S_{rt}' к расчетному S_{rt} в точке r .

Результаты опытов Л. К. Венцеля и рассчитанные по ним значения a и μ приведены в табл. 1, 2. Построенные по опытным значениям a и μ графики $\ln a = f(\ln r)$ и $\ln \mu = f(\ln r)$ показывают (рис. 1), что в однородных по проницаемости неограниченных пластах имеют место весьма важные соотношения:

$$\ln a = \ln a_r = \ln a_r^0 + \lambda \ln r, \quad a_r = a_r^0 r^\lambda, \quad (11)$$

$$\ln \mu = \ln \mu_r = \ln \mu_r^0 - \lambda \ln r, \quad \mu_r = \mu_r^0 r^{-\lambda}, \quad (12)$$

где

$$\lambda = \frac{\ln(a_{r_2}/a_{r_1})}{\ln(r_2/r_1)} = - \frac{\ln(\mu_{r_2}/\mu_{r_1})}{\ln(r_2/r_1)} \quad (13)$$

есть тангенс угла наклона графиков $\ln a = f(\ln r)$ и $\ln \mu = f(\ln r)$ к оси $\ln r$ при данном $Q = \text{const}$; a_r и $\mu_r = T/a_r$ — величины параметров a и μ в

Таблица 1

Результаты опытной откачки вблизи Скоттсблафа при
 $Q=1270$ галл/мин= $168,91$ фут³/мин ($\lambda=-2,65$; $n=0,43$; $T_D=12,1$ фут²/мин;
 $T=28,1$ фут²/мин)

lg t, мин	Понижение $S_{r,r}$, фут, по скважинам							
	№ 1	№ 2	№ 3	№ 4	№ 5	№ 6	№ 7	№ 8
2,0	5,61	3,74	2,81	2,26	1,41	0,76	0,26	-0,24
2,1	5,72	3,85	2,92	2,37	1,52	0,87	0,37	-0,13
2,2	5,83	3,96	3,03	2,48	1,63	0,98	0,48	-0,02
2,3	5,94	4,07	3,14	2,59	1,74	1,09	0,59	0,09
2,4	6,05	4,18	3,25	2,70	1,85	1,20	0,70	0,20
2,5	6,16	4,29	3,36	2,81	1,96	1,31	0,81	0,31
2,6	6,27	4,40	3,47	2,92	2,07	1,42	0,92	0,42
2,7	6,38	4,51	3,58	3,03	2,18	1,53	1,03	0,53
∇_r , фут	-0,08	-0,16	-0,24	-0,32	-0,47	-0,63	-0,79	-0,94
r , фут	49,84	99,69	149,5	199,9	299,5	399,4	498,4	598,6
lg r	1,70	2,00	2,175	2,30	2,476	2,60	2,70	2,777
i^* , фут	1,10	1,10	1,10	1,10	1,10	1,10	1,10	1,10
T , фут ² /мин	28,1	28,1	28,1	28,1	28,1	28,1	28,1	28,1
lg a, фут ² /мин	6,15	5,05	4,55	4,30	3,88	3,54	3,29	2,98
lg $\mu = \lg(T/a)$	-4,70	-3,60	-3,10	-2,85	-2,43	-2,09	-1,84	-1,53

Примечание. Поправка ∇_r определялась по формуле $\nabla_r=36,85-\nabla_{cr}$.

Таблица 2

Результаты опытной откачки вблизи Грандайсленда при
 $Q=540$ галл/мин= $71,82$ фут³/мин ($\lambda=-0,75$; $n=0,727$; $T_D=7,35$ фут²/мин;
 $T=10,11$ фут²/мин)

lg t, мин	Понижение $S_{r,r}$, фут, по скважинам						
	№ 72	№ 13	№ 56	№ 2	№ 14	№ 58	№ 15
2,5	4,27	2,95	2,13	1,82	1,56	1,10	0,75
2,6	4,40	3,08	2,26	1,95	1,69	1,23	0,88
2,7	4,53	3,21	2,39	2,08	1,82	1,36	1,01
2,8	4,66	3,34	2,52	2,21	1,95	1,49	1,14
2,9	4,79	3,47	2,65	2,34	2,08	1,62	1,27
∇_r , фут	0	-0,03	-0,02	0,01	-0,08	-0,10	-0,14
r , фут	12,3	29,9	46,7	59,9	70,0	93,6	120,0
lg r	1,090	1,476	1,669	1,777	1,845	1,971	2,079
i^* , фут	1,30	1,30	1,30	1,30	1,30	1,30	1,30
T , фут ² /мин	10,11	10,11	10,11	10,11	10,11	10,11	10,11
lg a, фут ² /мин	2,61	2,37	2,13	2,10	2,04	1,94	1,89
lg $\mu = \lg(T/a)$	-1,61	-1,37	-1,13	-1,10	-1,04	-0,94	-0,89

Примечание. Поправка ∇_r определялась по формуле $\nabla_r=1810,28-\nabla_{cr}$.

точке r ; $\ln a^0_r$, $\ln \mu^0_r = \ln(T/a^0_r)$ — соответственно отрезки осей $\ln a_r$ и $\ln \mu_r$, отсекаемые графиками $\ln a_r = f(\ln r)$ и $\ln \mu_r = f(\ln r)$.

Поскольку в теории линейной неустановившейся фильтрации $T_D=T$, для каждого опыта наряду с параметрами λ определялся и другой критерий линейности неустановившейся фильтрации [1, 2]

$$n = T_D/T = 2i/i_D = 2/(2 - \lambda). \quad (14)$$

В работах [1, 2] доказано, что если возмущать скважину различными по величине постоянными дебитами Q_1, Q_2, \dots, Q_n , то величины критерия λ будут изменяться по определенному закону и принимать значения $\lambda_1, \lambda_2, \dots, \lambda_n$, соответствующие указанным величинам Q . При этом в данном пласте график функции $\lambda = f(Q)$ пересекает ось Q только один раз,

т. е. только при некотором одном значении $Q = Q_0$, когда $\lambda = 0$, неустановившаяся фильтрация протекает согласно теории линейной фильтрации.

За пределами полосы $Q = Q_0$, т. е. при $Q < Q_0$ (здесь $\lambda > 0$, $n > 1$) и $Q > Q_0$ (здесь $\lambda < 0$, $n < 1$), имеют место квазилинейные разновидности неустановившейся фильтрации. Насколько часто встречаются на практике эти разновидности неустановившейся фильтрации, можно судить по следующим опытам.

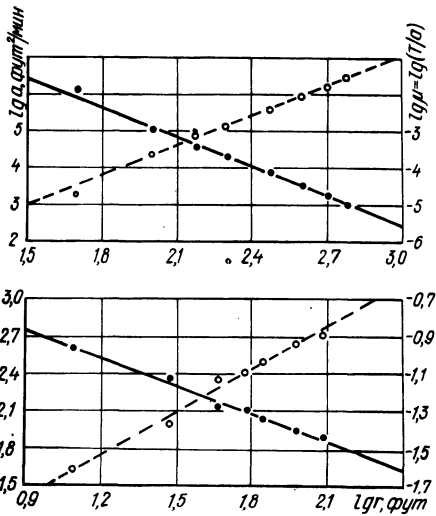


Рис. 1. Характер функций $lga = f(lgr)$ (сплошные линии) и соответствующих им зависимостей $l\mu = \lg(T/a) = f(lgr)$ (пунктирные), построенных по данным опытных откачек Л. К. Венцеля: 1 — откачка вблизи Скоттсблafa, 2 — откачка вблизи Грандайсленда (см. табл. 1, 2).

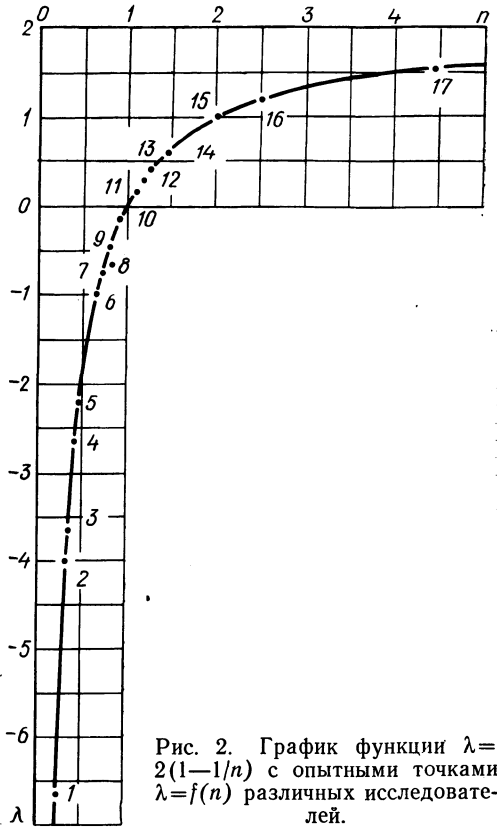


Рис. 2. График функции $\lambda = 2(1-1/n)$ с опытными точками $\lambda = f(n)$ различных исследователей.

Например, откачка вблизи Скоттсблafa (табл. 1) показывает, что при данном дебите критерии неустойчивости фильтрационного потока $\lambda = -2,65$, $n = 0,43$ и функции (11) и (12) имеют вид (рис. 1):

$$lga_r = 10,39 - 2,65 \cdot lgr, \quad a_r = 10^{10,39} r^{-2,65}, \quad \text{фут}^2/\text{мин};$$

$$\ln \mu_r = -8,94 + 2,65 \cdot lgr, \quad \mu_r = 10^{-8,94} r^{2,65}.$$

Аналогичным методом обработано множество других опытных откачек, результаты которых удовлетворяют уравнениям (6) и (7). Опытные значения λ и n приведены на графике функции (14) (рис. 2). Номера точек $\lambda = f(n)$ соответствуют опытам: 1 — откачка на ферме Вортман, $Q = 72 \text{ фут}^3/\text{мин}$ [9]; 2 — откачка в долине реки Арканзас, $Q = 93 \text{ фут}^3/\text{мин}$ [10]; 3 — см. [11], узел скважин 21 г при $Q = 2600 \text{ м}^3/\text{сут}$; 4 — табл. 1; 5 — откачка вблизи Брэдфорда в марте 1962 г., $Q = 55 \text{ фут}^3/\text{мин}$ [12]; 6 — откачка из скважины 3 ц, $Q = 288 \text{ м}^3/\text{сут}$ [13]; 7 — табл. 2; 8 — см [14, табл. 19]; 9 — см. [15], скважины 13, 26 и др.; 10 — см. [14, табл. 13]; 11 — см. [16]; 12 — табл. 3, $Q = 240 \text{ м}^3/\text{сут}$; 13 —

Результаты опытной откачки из скважины 2ц радиуса $r_0=0,08$ м при $m=20$ м ($r_1=3$ м; $r_2=50,2$ м; $r_3=102$ м; длина фильтра 13,26 м; глубина скважины 110 м [8])

Q , м ³ /сутки	t , сутки	Понижение $S_{r,t}$, м, по скважинам				T_D	$\frac{\lambda}{n}$
		2ц	r_1	r_2	r_3		
134	1	9,92	0,63	0,35	0,29	220,8	$\frac{0,42}{1,27}$
	2	11,47	0,67	0,39	0,33		
	3	12,22	0,70	0,42	0,36		
	4	12,97	0,72	0,44	0,38		
	5	13,34	0,73	0,45	0,39		
	6	13,86	0,74	0,46	0,40		
	i^* , м	5,051	0,141	0,141	0,141		
	T	4,855	173,9	173,9	173,9		
	$\lg a$	-0,585	5,078	5,532	5,727		
	$\lg \mu = \lg(T/a)$	1,272	-2,838	-3,292	-3,487		
180	1	14,59	1,74	1,34	1,25	205,3	$\frac{0,61}{1,44}$
	2	16,10	1,81	1,41	1,32		
	3	16,97	1,85	1,45	1,36		
	4	17,59	1,88	1,48	1,39		
	5	18,40	1,90	1,50	1,41		
	6	18,62	1,92	1,02	1,43		
	i^* , м	5,167	0,231	0,231	0,231		
	T	6,375	142,6	142,6	142,6		
	$\lg a$	0,274	8,142	8,851	9,081		
	$\lg \mu = \lg(T/a)$	0,530	-5,988	-6,697	-6,93		
240	1	20,50	2,11	1,54	1,40	188,7	$\frac{0,28}{1,16}$
	2	22,22	2,19	1,62	1,48		
	3	23,32	2,24	1,67	1,52		
	4	23,97	2,27	1,70	1,55		
	5	24,59	2,30	1,73	1,59		
	6	25,00	2,32	1,75	1,61		
	i^* , м	5,77	0,27	0,27	0,27		
	T	7,613	162,7	162,7	162,7		
	$\lg a$	1,003	8,425	8,754	8,860		
	$\lg \mu = \lg(T/a)$	-0,12	-6,21	-6,54	-6,64		

табл. 3, $Q=134$ м³/сут; 14 — табл. 3, $Q=180$ м³/сут; 15 — см. [17], $Q=2000$ м³/сут; 16 — откачка вблизи Элмвейла в июне 1960 г., $Q=48,2$ фут³/мин [12]; 17 — см. [18], скважины 1854, 2101.

Из рис. 2 видно, что критерий (или признак) неустойчивости фильтрационного потока λ во всех рассмотренных опытах принимает ненулевые значения, изменяясь от $-6,66$ до $+1,55$. Это говорит о том, что при изменении интенсивности возмущения в водоносных пластах возникают две квазилинейные разновидности неустойчивейшей фильтрации, характеризующиеся квазилинейными уравнениями параболического типа

$$\operatorname{div}(\operatorname{grad} S) = f(\lambda) \frac{1}{a} \frac{\partial S}{\partial t}, \quad (15)$$

в которых роль критерия неустойчивости потока играет коэффициент $f(\lambda) = \varphi(Q)$ при скорости изменения уровня (пластового давления).

Очевидно, только в некоторой узкой полосе значений расхода потока $Q=Q_0$, когда $f(\lambda)=1$, квазилинейные разновидности неустойчивейшей фильтрации автоматически переходят в линейную разновидность неустойчивейшей фильтрации, а характеризующие их неустойчивые парамет-

рические уравнения (15) — в линейное уравнение (3), которое также неустойчиво и за пределами полосы $Q=Q_0$ взаимно переходит в уравнения (15). Отсюда следует, что рассматриваемый эффект неустойчивости фильтрационного потока распространяется на все три разновидности неустановившейся фильтрации, а линейная неустановившаяся фильтрация является частным и весьма редким случаем квазилинейных разновидностей неустановившейся фильтрации. Это значит, что в одном и том же водоносном пласте при изменении интенсивности возмущения могут возникать как линейная (в полосе $Q=Q_0$), так и квазилинейные (за полосой $Q=Q_0$) разновидности неустановившейся фильтрации.

В работах [1, 2] доказано, что при соблюдении условий (6) и (7) функции (11) и (12) имеют место, если предположить, что величины неустановившегося радиуса влияния скважины R_f и параметров T_D, T, a , определенные по формулам теории линейной фильтрации, являются функциями дебита скважины Q . С другой стороны, зависимость величин R_f, T_D, T, a от Q имеет место, если движение подземных вод подчиняется обобщенному закону Дарси ($I_0 \neq 0$), а характеризуется по формулам линейной фильтрации ($I_0=0$) [3]. Отсюда можно заключить, что при условии $\lambda \neq 0$, имевшем место в рассмотренных опытах (рис. 2), движение подземных вод подчинялось обобщенному закону Дарси и вытекающей из него теории квазилинейной фильтрации.

Таким образом, анализ результатов опытных откачек позволяет предположить, что в каждом пласте начальный градиент фильтрации I_0 принимает нулевое значение только в некоторой узкой полосе значений расхода потока, лежащих по обе стороны от точки Q_0 .

Возникновение I_0 вносит существенные изменения в методы решения обратных задач теории квазилинейной и нелинейной фильтрации. Например, в законе Дарси коэффициент фильтрации k_f равен угловому коэффициенту прямой $v=k_f I$, проходящей через начало координат (v — установившаяся скорость фильтрации при установившемся градиенте напорного потока I), т. е. при наличии закона Дарси коэффициент фильтрации определяется по одному значению расхода потока $k_f=v_1/I_1=v_2/I_2=\dots=v_n/I_n=\text{const}$.

Совершенно иная методика определения параметров пластов должна применяться при других законах фильтрации. Например, при обобщенном законе Дарси коэффициент фильтрации k_d равен угловому коэффициенту прямой $v=k_d(I \pm I_0)$, отсекающей на оси градиентов отрезок $\pm I_0$ [3]. Поэтому величина k_d определяется уже по двум значениям расхода потока: $k_d=(v_2-v_1)/(I_2-I_1)=\text{const}$. Это значит, что при опытных откачках в случае обобщенного закона Дарси возмущающая скважина должна включаться в работу с различными дебитами не менее двух раз. Только в этом случае в каждой точке пласта мы будем иметь не менее двух градиентов депрессионной поверхности (I_1, I_2, \dots) при соответствующих расходах потока (v_1, v_2, \dots). Отмеченные особенности практического использования обобщенного закона Дарси необходимо учитывать при проведении опытно-фильтрационных работ.

Таким образом, обобщение натуральных исследований неустановившейся фильтрации к скважинам показывает (рис. 1, 2), что расчет неустановившейся депрессионной поверхности при работе вертикального дренажа необходимо вести с учетом уравнений (11) и (12), т. е. по обобщенной формуле [2]

$$S_{r,t} = \frac{Q}{4\pi T} \left[-\text{Ei} \left(-\frac{r^{2-\lambda}}{4a_r^0 t} \right) \right] = \frac{Q}{4\pi T} \left[-\text{Ei} \left(-\frac{r^2}{4a_r t} \right) \right]. \quad (16)$$

При $\lambda=0$, т. е. в некоторой узкой полосе значений Q , из (16) получаем формулу Ч. В. Тейса (1). Отметим, что обобщенная формула (16) пред-

ставляет собой автомодельное решение квазилинейного уравнения параболического типа

$$\frac{\partial^2 S}{\partial r^2} + \frac{1}{r} \frac{\partial S}{\partial r} = \frac{(2-\lambda)^2}{4a_0^2 r^\lambda} \cdot \frac{\partial S}{\partial t} \quad (17)$$

для краевых условий задачи Тейса [1, 2].

Существование уравнения (11) свидетельствует о том, что неустановившееся движение подземных вод в одном и том же водоносном горизонте носит весьма сложный характер и лишь в некоторых случаях, когда $\lambda=0$, согласуется с теорией линейной фильтрации. Можно полагать, что закономерность (11) возникает в результате воздействия на распространение депрессионной воронки таких мало изученных явлений, как начальный градиент напора I_0 и режим водного питания пласта. При изменении интенсивности возмущения эти явления влияют на граничные условия пласта, иначе режим питания пласта становится неустойчивым. В частности, с изменением интенсивности отбора жидкости из пласта начинает перемещаться контур питания или приведенный радиус влияния R_t [4]. Обобщенная формула (16) указывает на зависимость величины R_t от дебита скважины Q

$$R_t = (2,25 a_0^2 t)^{1/(2-\lambda)}, \quad (18)$$

поскольку $\lambda=f(Q)$ [2].

В заключение отметим, что обнаруженные зависимости получены из анализа многочисленных натуральных опытов и, следовательно, отражают определенные закономерности перераспределения напора в неустановившемся фильтрационном потоке. На этом основании уравнение (11) и вытекающие из него положения могут быть использованы для построения более реальных моделей неустановившегося движения подземных вод.

Литература

1. Костюкович П. Н. Исследование неустановившейся фильтрации в неограниченном пласте. — В сб.: Использование водных ресурсов. Минск, 1969.
2. Костюкович П. Н. Некоторые обобщения основной формулы теории упругого режима. — «Труды БСХА. Мелиорация и гидротехника», 1971, т. 81.
3. Костюкович П. Н. К определению обобщенного сопротивления водопроницающих скважин. — В сб.: Вопросы водохозяйственного строительства. Минск, 1969.
4. Шелкачев В. Н. Разработка нефтеводоносных пластов при упругом режиме. М., 1959.
5. Бочеввер Ф. М. и др. Основы гидрогеологических расчетов. М., 1965.
6. Методы фильтрационных расчетов гидромелиоративных систем. Под ред. Н. Н. Веригина. М., 1970.
7. Wenzel L. K. Methods for determining permeability of water-bearing materials.—In: U. S. Geological Survey water-Supply Paper 887. Washington, 1942.
8. Костюкович П. Н. Гидрогеологические расчеты дрен и параметров водоносных горизонтов. Канд. дис. Л., 1965.
9. Hantuch M. S. Analysis of data from pumping tests in leaky aquifers.—„Fransactions American Geophysical Union“, 1956, v. 37, № 6.
10. Hantuch M. S. Analysis of data from pumping wells near a river.—„Journal of Geophysical Research“, 1959, V. 64, № 11.
11. Бочеввер Ф. М., Орфаниди К. Ф. Опыт определения исходных гидрогеологических параметров для оценки эксплуатационных запасов подземных вод. — «Труды лаборатории инженерной гидрогеологии», 1962, вып. 4.
12. Watt A. K. An assessment of the non-equilibrium equations in various aquifers.—In: Proc edings of Hydrology Symposium Held at the University of Alberta. Ground Water“, Ottawa, 1963.
13. Костюкович П. Н. Об исходных предпосылках при определении промежутка высачивания и параметров пластов. — «Изв. вузов. Геология и разведка», 1966, № 3.
14. Биндеман Н. Н. Оценка эксплуатационных запасов подземных вод. М., 1963.
15. Самсонов Б. Г., Бурдакова О. Л., Кривошеева Л. И. Сравнительная оценка способов определения расчетных гидрогеологических параметров. — «Разведка и охрана недр», 1970, № 9.
16. Плотников Н. И. Поиски и разведка пресных подземных вод для целей крупного водоснабжения. М., 1968.
17. Боревский Л. В., Язвин Л. С. К методике определения гидрогеологических параметров в неоднородных в плане пластах. — «Труды ВНИИ гидрогеологии и инженерной геологии», 1970, вып. 32.
18. Лагышев П. П. Определение гидрогеологических параметров по данным режимных наблюдений. — «Труды ВНИИ гидрогеологии и инженерной геологии», 1969, вып. 23.